



بررسی ترکیب و نقش عناصر کمیاب در شکل گیری کانسنگ مگنتیتی توده نفوذی نامن، غرب سبزوار به روش LA-ICP-MS

سیدعلی مظهري*

دانشگاه پیام نور، گروه علمی زمین شناسی، تهران ۴۹۶۷-۱۹۳۹۵، ایران

(دریافت مقاله: ۹۵/۱۰/۱۸، نسخه نهایی: ۹۵/۱۲/۲۴)

چکیده: سنگ‌های بازی توده نفوذی نامن در غرب سبزوار به صورت هورنبلند گابروهای انباشتی ظاهر می‌شوند. یکی از رخنمون‌های این واحد، حاوی قطعات کانسنگ مگنتیتی است. با وجود ویژگی‌های مشابه کانی‌شناسی، هورنبلند گابروهای حاوی کانسنگ (MHG) از نظر ترکیب عناصر کمیاب و نوع مواد فرار تفاوت قابل ملاحظه‌ای با سایر هورنبلند گابروها (HG) دارد. تجزیه عناصر کمیاب به روش LA-ICP-MS بر بلورهای مگنتیتی نمونه‌های MHG، HG و کانسنگ (MG) نشان می‌دهد که تمام این کانی‌ها در گروه مگنتیتی-های ماگمایی غنی از Ti و V قرار می‌گیرند. مگنتیت‌های MG و MHG دارای ترکیب مشابه هستند، اما ترکیب عناصر کمیاب در مگنتیت‌های نمونه HG کاملاً متمایز از آنهاست. مگنتیت‌های HG غنی از Mg، Al، Ga، Y، Nb و REE هستند در حالیکه این کانی‌ها در MG و MHG از نظر میزان Ti، V، Cr، Mn و Zn به نسبت غنی‌تر هستند. الگوی REE در این گروه نیز متفاوت است به طوری که مگنتیت‌های MG و MHG الگوی چهاروجهی با تهی‌شدگی LREE $[(La/Yb)_N = 0.46]$ نشان می‌دهند؛ در حالیکه مگنتیت‌های HG غنی‌شدگی نسبی عناصر خاکی‌نادر سبک (LREE) به سنگین (HREE) با شیب ملایم $[(La/Yb)_N = 2.67]$ دارند. ترکیب داده‌های عناصر کمیاب مگنتیتی و شیمی سنگ کل مؤید نقش جدایش فاز فرار در طی تحول ماگمای گابرویی توده‌ی نامن است.

واژه‌های کلیدی: مگنتیتی، هورنبلند گابرو، عناصر کمیاب، توده نامن، سبزوار.

مقدمه

می‌گردد [۶]. تحقیقات مختلف نشان داده است که ترکیب عناصر کمیاب در اکسیدهای آهن نقش مهمی در درک خاستگاه انواع کانی‌زایی دارد [۷، ۸]. قطعات مدور کانسنگ مگنتیتی به صورت پراکنده در رخنمون‌هایی از هورنبلند گابروهای مجموعه توده‌های نفوذی نامن در غرب سبزوار مشاهده می‌شوند. بررسی‌های پیش‌نشان می‌دهد که ترکیب عناصر کمیاب در سنگ‌های حاوی کانسنگ متفاوت از هورنبلند گابروهای بدون کانسنگ است [۹]. در این تحقیق عناصر کمیاب موجود در اکسیدهای آهن هورنبلند گابروهای حاوی کانسنگ (MHG)، هورنبلند گابروهای بدون کانسنگ (HG) و خود کانسنگ (MG) با روش

با پیشرفت فناوری و ابداع روش‌های نوین برای تعیین عناصر کمیاب کانی‌ها (به ویژه طیف‌سنجی جرم گسیل پلاسمای جفت شده القایی با جدایش لیزری LA-ICP-MS)، استفاده از ترکیب این عناصر در بررسی‌های مختلف سنگ‌شناسی و کانه‌نگاری افزایش یافته است. این بررسی‌ها دامنه‌ی گسترده‌ای از کانی‌های مافیک [۱، ۲] و فلسی [۳-۵] را شامل می‌شود. مگنتیت (Fe_2O_4) یکی از رایجترین کانی‌های اکسیدی گروه اسپینل است. این کانی در طیف وسیعی از سنگ‌های مختلف ظاهر می‌شود و همچنین به عنوان کانسنگ آهن در کانسارهای ماگمایی، گرمایی و سازندهای آهن نواری (BIF) تشکیل

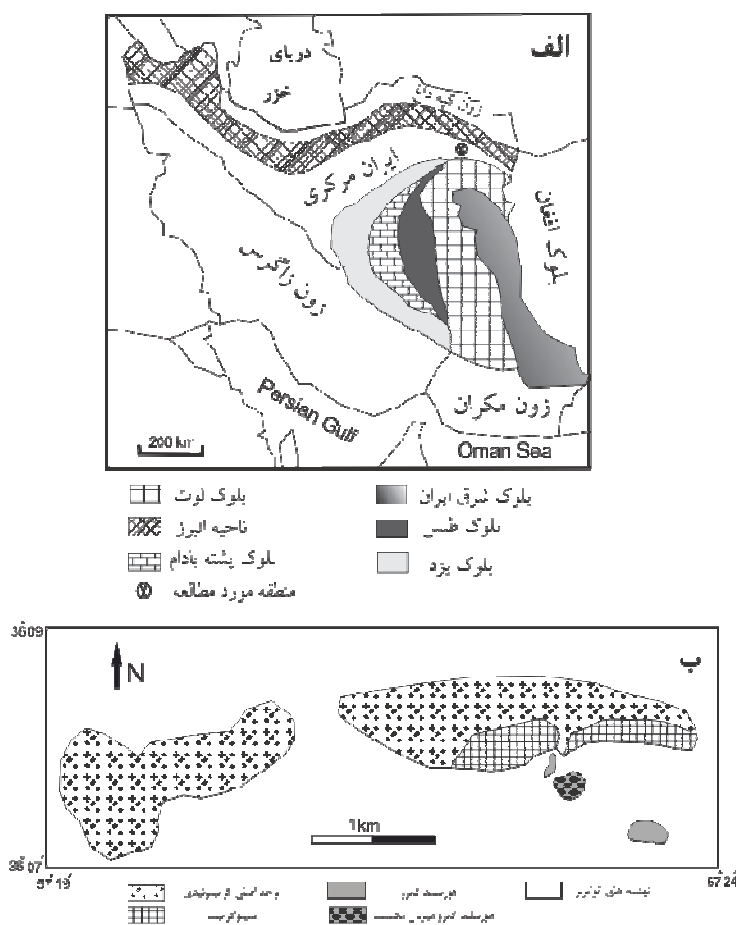
*نویسنده مسئول، تلفن: ۰۵۱۴۴۶۴۴۰۱۲، پست الکترونیکی: ali54894@yahoo.com

های دیابازی و گابروهای لایه‌ای و توده‌ای است که سن کرتاسه پسین تا پالئوسن را به آن نسبت داده‌اند [۱۱، ۱۲]. علاوه بر این، سنگ‌های بازی دگرگون شده (شیست آبی، شیست سبز و آمفیبولیت) در اندازه‌های مختلف نیز در مجموعه افیولیتی ظاهر می‌شوند. این سنگ‌ها در کرتاسه پیشین (آلبین) دچار بیشترین دگرگونی شده‌اند [۱۳]. علاوه بر سنگ‌های آذرین مرتبط با دنباله افیولیتی که در پهنه سبزوار ظاهر شده‌اند، وسعت قابل ملاحظه‌ای از این ناحیه توسط سنگ‌های ماگمایی غیرافیولیتی پوشیده شده است (شکل ۱ الف). این سنگ‌ها یا به صورت توده‌های نفوذی، نیمه عمیق و روانه‌های خروجی در نوار مجموعه افیولیتی رخنمون یافته‌اند [۱۱، ۱۴] و یا در خارج از نوار افیولیتی (در نیمه جنوبی پهنه سبزوار) قرار گرفته‌اند [۱۵، ۱۶]. بررسی‌ها نشان می‌دهد که بسیاری از سنگ‌های آتشفشانی ماهیت آداکیتی دارند [۱۷]. توده‌های ماگمایی نیز متنوع بوده و شامل فازهای مختلف فلسی و مافیک هستند [۹].

LA-ICP-MS تعیین گردید. در ادامه اختلاف ترکیب عناصر کمیاب مگنتیت در این نمونه‌ها مورد بررسی و تجزیه و تحلیل قرار گرفته و نوع کانی‌زایی با استفاده از نمودارهای متمایز کننده تعیین شد. نتایج حاصل از این بررسی نشان می‌دهد که ترکیب عناصر کمیاب مگنتیت می‌تواند کمکی مؤثر در شناخت بهتر فرایندهای کانی‌زایی داشته باشد.

موقعیت زمین شناسی

ناحیه مورد بررسی در پهنه سبزوار (شمال شرقی ایران) و در قلمرو منطقه ایران مرکزی واقع شده است (شکل ۱ الف) [۱۰]. بیشترین وسعت پهنه سبزوار شامل کمربند افیولیتی بزرگی است که به صورت نواری با روند تقریبی شمال‌غربی- جنوب- شرقی در حاشیه شمال شرقی ایران مرکزی واقع شده است. این مجموعه افیولیتی شامل کلیه بخش‌های یک دنباله افیولیتی است که البته کاملاً زمین‌ساخت شده و بین بخش‌های مختلف انقطاع ایجاد شده است. افیولیت سبزوار شامل بخش گوشته‌ای سرپانتینی شده و دنباله‌ی سنگ‌های رسوبی- شیمیایی، دایک-



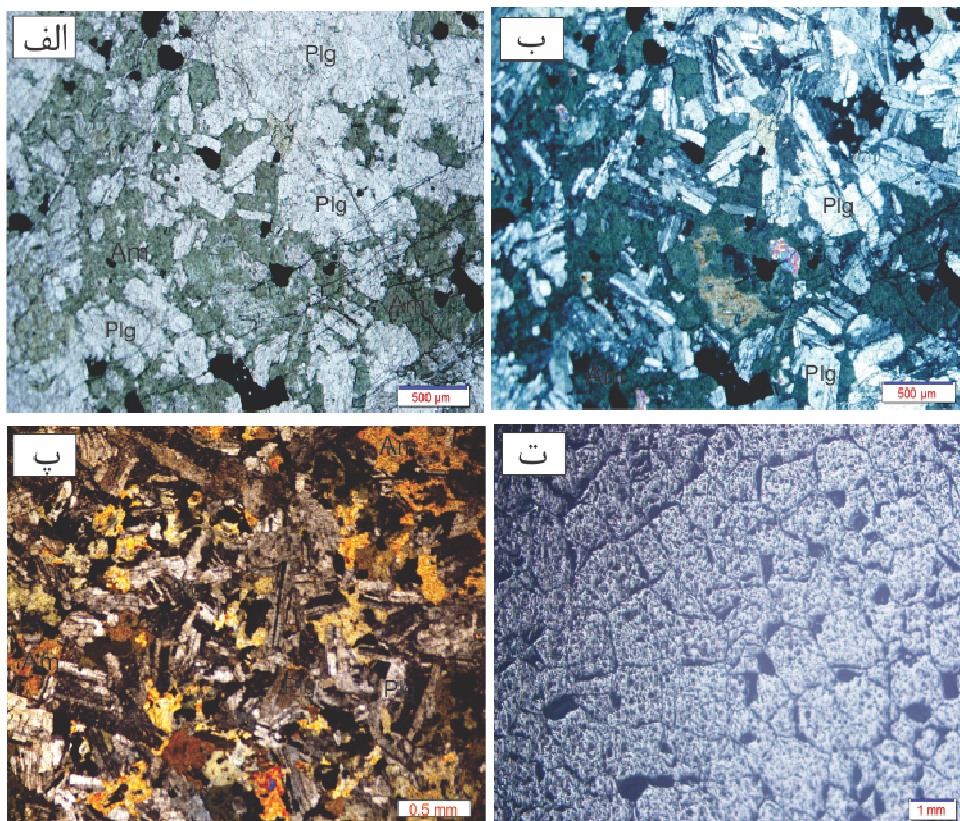
شکل ۱ الف) موقعیت محدوده مورد بررسی در نقشه زمین شناسی ایران (برگرفته از مرجع [۱۰]). ب) نقشه ساده توده نفوذی نامن.

و نمونه‌های فاقد کانسنگ (HG) از نظر ویژگی‌های سنگ‌نگاری مشابه هستند. کلیه سنگ‌های گابرویی دارای بافت دانه‌ای و انباشتی هستند (شکل ۲). پلاژیوکلاز فراوان‌ترین کانی است که به صورت شکلدار و نیمه شکلدار ظاهر می‌شود. آمفیبول کانی اصلی دیگری است که بیشتر به شکل هورنبلندهای سبز رنگ در مقاطع نازک دیده می‌شود و معمولاً فضای بین سایر بلورها را دربر می‌گیرد. اکسیدهای آهن به صورت کانی کدر در تمام نمونه‌های گابرویی قابل مشاهده هستند. مقدار این کانی‌ها در نمونه‌های MHG (شکل‌های ۲ الف و ب) بیش از ۵ درصد حجمی و در گابروهای HG (شکل ۲ پ) کمتر از این مقدار است. کانی‌های فرعی گابروها شامل تیتانیت، آپاتیت و زیرکن هستند. کانسنگ مگنتیت در مقاطع صیقلی تقریباً به طور کامل از کانی مگنتیت تشکیل شده است و بیشتر به صورت دانه‌های شکلدار مشاهده می‌شود (شکل ۲ ت). البته مگنتیت به صورت ذرات ریز بدون شکل نیز دیده می‌شود و شکاف بین دانه‌های مگنتیت اغلب توسط ذرات فلدسپار پر می‌شود.

توده نفوذی نامن در ۳۵ کیلومتری غرب شهر سبزوار واقع شده و از سه فاز ماگمایی مختلف شامل دو واحد گرانیتوئیدی و یک واحد بازی، تشکیل شده است [۹]. گرانیتوئیدها شامل دو نوع A و I هستند و به ترتیب در اثر ذوب سنگ‌های فلسیک و آمفیبولیت‌ها در یک محیط فرورانشی تشکیل شده‌اند [۹]. سنگ‌های مافیک در جنوب توده ظاهر شده‌اند و دارای ترکیب هورنبلند گابرویی با بافت انباشتی متشکل از هورنبلند و پلاژیوکلاز هستند. در یکی از رخنمون‌های فاز مافیک کانسنگ مگنتیت به صورت قطعات مدور قابل مشاهده است (شکل ۱ ب) که فعالیت معدنی محدودی نیز بر روی این رخنمون انجام گرفته است. سایر رخنمون‌های سنگ‌های مافیک فاقد کانسنگ مگنتیت هستند.

سنگ‌نگاری

آمفیبول و پلاژیوکلاز کانی‌های اصلی سازنده فاز بازی توده نامن هستند. این دو کانی بیش از ۸۰ درصد حجم سنگ‌های بازی را تشکیل داده‌اند و بنابراین از این واحد به نام "هورنبلند گابرو" یاد می‌شود. هورنبلند گابروهای حاوی کانسنگ (MHG)



شکل ۲ ویژگی‌های سنگ‌نگاری نمونه‌های مورد بررسی. نمونه MHG در نور PPL (الف) و XPL (ب)، (پ) نمایی از بافت نمونه HG در نور PPL. (ت) بافت کانسنگ (MG) در نور بازتابی. پلاژیوکلاز = Plg؛ آمفیبول = Am.

روش انجام پژوهش

چنانکه اشاره شد، در بررسی پیشین روی توده نامن، ویژگی-های سنگ‌شناسی و زمین‌شیمی سنگ‌های نفوذی ارائه شده است [۹]. با توجه به نتایج حاصل از آن تحقیق، سه نمونه نازک صیقلی از واحدهای MHG، HG و کانسنگ (MG) تهیه شد و پس از بررسی‌های میکروسکوپیکی، تجزیه LA-ICP-MS بر روی کانی‌های اکسیدی آنها صورت گرفت. در مجموع ۲۷ بلور مگنتیت در نمونه‌های مورد بررسی به روش LA-ICP-MS و برای تعیین عناصر کمیاب تجزیه شدند. این بررسی‌ها در موسسه زمین‌شیمی فرهنگستان علوم در شهر جیانگ چین و با استفاده از باریکه لیزری تولید شده توسط دستگاهی شامل کمپرسور لیزری مدل Coherent GeoLasPro 193-nm به همراه یک Agilent 7700x ICP-MS انجام گرفت. پس از ۲۰ ثانیه کنترل با gas blank، سطوح نمونه به مدت حدود ۴۰ ثانیه تحت ابلیشن ۱۶۰ تب متوالی (4 Hz) در اندازه ۴۴ μm

قرار گرفت. آئروسول ایجاد شده تحت تأثیر یک گاز حامل هلیمی قرار گرفت و سپس قبل از ورود به دستگاه ICP-MS و برای بدست آوردن شدت یون‌های منفرد، از طریق یک مبدل T با یک گاز آرگون مخلوط شد. جزئیات شرایط انجام تجزیه در مرجع [۷] تشریح شده است. در نهایت، شرایط تشکیل کانسنگ مگنتیت با توجه به داده‌های پیشین و نتایج حاصل از LA-ICP-MS، مورد بحث و بررسی قرار گرفت.

نتایج

نتایج به دست آمده در جدول ۱ ارائه شده است. بسیاری از عناصر کمیاب می‌توانند در ساختار بلوری نوع اسپینل جای بگیرند [۶، ۱۸]. تمرکز بسیاری از عناصر کمیاب (شامل Mg، Nb، Y، Sr، Ga، Zn، Ni، Co، Mn، Cr، V، Ti، Sc، Al، Ba و REE) در اکسیدهای مورد بررسی در توده نفوذی نامن بالاتر از حد تشخیص دستگاه است. در ادامه نتایج بدست آمده در مورد هر نمونه تشریح می‌شود.

جدول ۱ نتایج تجزیه LA-ICP-MS برای کانی مگنتیت در نمونه‌های مورد بررسی. مقادیر بر حسب ppm ارائه شده‌اند.

	MHG-1	MHG-2	MHG-3	MHG-4	MHG-5	MHG-6	MHG-7	MHG-8	MG-1	MG-2	MG-3	MG-4	MG-5	MG-6
Mg	۷۲,۳۰	۶۵,۸۲	۵۳,۹۲	۸۴,۰۷	۷۷,۲۰	۶۵,۱۴	۷۱,۹۶	۵۹,۶۰	۶۱,۲۳	۶۸,۶۶	۷۲,۳۹	۵۴,۷۰	۶۵,۴۰	۷۸,۰۴
Al	۳۵,۷۰	۴۳,۴۵	۲۸,۶۸	۲۷,۴۹	۳۳,۴۰	۴۰,۶۸	۲۵,۳۸	۲۲,۱۸	۳۲,۵۱	۲۶,۴۲	۲۵,۴۹	۳۴,۰۵	۴۲,۸۳	۳۹,۶۰
Sc	۹,۸۳	۷,۵۶	۸,۴۹	۴,۶۰	۵,۳۲	۴,۸۹	۹,۲۱	۷,۵۰	۳,۶۹	۸,۵۷	۵,۸۲	۴,۹۵	۳,۸۰	۱۰,۲۸
Ti	۱۹۷۵۶	۱۹۲۰۷	۱۸۷۳۲	۱۸۸۴۶	۱۹۰۲۳	۱۸۳۲۴	۱۸۸۲۶	۱۸۶۱۹	۱۸۹۲۵	۱۹۳۳۴	۱۸۸۰۰	۱۹۹۶۰	۱۸۲۵۹	۱۹۲۱۶
V	۴۲۰۸	۴۱۵۳	۴۱۶۷	۴۰۷۵	۴۲۲۶	۴۳۰۲	۴۰۹۶	۳۹۸۴	۴۰۲۹	۴۱۰۸	۴۱۷۳	۳۹۲۰	۴۱۸۵	۴۰۷۰
Cr	۱۰۲,۳۸	۱۰۵,۸۴	۹۳,۷۵	۹۶,۶۰	۱۰۱,۵۵	۹۵,۱۹	۹۷,۱۳	۹۹,۰۷	۹۲,۶۴	۱۰۴,۳۹	۱۰۴,۲۵	۱۰۳,۷۷	۹۳,۱۶	۹۲,۵۰
Mn	۹۳۸	۸۵۶	۱۰۳۹	۹۰۲	۸۸۴	۹۳۷	۱۱۲۰	۸۱۸	۹۰۷	۷۴۶	۱۰۷۵	۸۴۴	۷۹۰	۱۱۴۸
Co	۵۲,۳۱	۶۳,۴۵	۶۲,۰۰	۵۹,۷۴	۶۱,۰۴	۶۵,۴۷	۴۹,۸۰	۵۶,۶۲	۵۷,۹۳	۶۶,۰۸	۶۴,۷۵	۶۳,۲۸	۵۱,۵۳	۵۲,۶۷
Ni	۱۰۲,۶۴	۱۰۱,۵۵	۱۰۳,۳۷	۱۰۳,۶۱	۱۰۱,۹۰	۹۶,۶۸	۹۹,۲۶	۱۰۵,۲۲	۱۰۴,۷۰	۹۳,۲۹	۱۰۲,۵۴	۱۰۳	۹۶,۶۶	۹۴,۷۵
Zn	۷۷۳	۸۲۹	۶۵۸	۹۰۸	۷۵۱	۱۰۳۶	۸۶۰	۹۷۲	۸۵۵	۶۹۷	۱۰۸۱	۷۵۴	۸۰۹	۱۱۲۶
Ga	۰,۹۷	۰,۸۱	۱,۰۴	۱,۲۶	۰,۹۴	۱,۶۵	۱,۳۸	۱,۵۳	۱,۲۹	۱,۷۸	۱,۶۸	۱,۱۲	۰,۹۹	۱,۳۸
Sr	۰,۶۵	۰,۳۹	۰,۲۷	۰,۴۷	۰,۷۱	۰,۱۹	۰,۵۵	۰,۶۳	۰,۷۵	۰,۴۸	۰,۲۳	۰,۳۹	۰,۵۵	۰,۵۳
Y	۰,۲۰۸	۰,۱۷۳	۰,۲۴۰	۰,۲۶۵	۰,۱۹۲	۰,۲۳۶	۰,۲۵۹	۰,۲۰۴	۰,۲۲۵	۰,۲۰۳	۰,۲۶۸	۰,۱۹۷	۰,۲۵۱	۰,۲۴۳
Nb	۳,۲۵	۲,۴۲	۲,۸۷	۴,۳۸	۳,۷۵	۲,۹۴	۴,۹۲	۲,۹۶	۴,۴۰	۲,۹۱	۳,۲۹	۵,۳۵	۲,۷۴	۴,۱۵
Ba	۲,۳۵	۱,۸۷	۲,۷۳	۳,۹۴	۲,۲۶	۲,۵۲	۲,۱۱	۲,۵۸	۳,۱۸	۳,۲۹	۲,۸۰	۲,۶۷	۲,۵۴	۱,۹۶
La	۰,۰۴۳	۰,۰۵۲	۰,۰۳۹	۰,۰۴۷	۰,۰۲۷	۰,۰۴۰	۰,۰۴۶	۰,۰۴۸	۰,۰۴۱	۰,۰۴۸	۰,۰۴۹	۰,۰۴۶	۰,۰۴۵	۰,۰۴۲
Ce	۰,۱۸۹	۰,۲۲۷	۰,۱۷۰	۰,۲۰۸	۰,۱۶۴	۰,۱۷۶	۰,۲۰۲	۰,۲۱۲	۰,۱۸۱	۰,۲۰۹	۰,۲۱۶	۰,۲۰۳	۰,۲۰۰	۰,۱۸۴
Pr	۰,۰۹۵	۰,۱۱۴	۰,۰۸۶	۰,۱۰۵	۰,۰۸۳	۰,۰۸۸	۰,۱۰۲	۰,۱۰۶	۰,۰۹۱	۰,۱۰۵	۰,۱۰۹	۰,۱۰۲	۰,۱۰۰	۰,۰۹۳
Nd	۰,۳۹۶	۰,۴۷۵	۰,۳۵۶	۰,۴۳۶	۰,۳۴۵	۰,۳۶۸	۰,۴۲۴	۰,۴۴۳	۰,۳۸۰	۰,۴۳۸	۰,۴۵۳	۰,۴۲۶	۰,۴۱۹	۰,۳۸۶
Sm	۰,۱۹۴	۰,۲۳۳	۰,۱۷۵	۰,۲۱۳	۰,۱۶۹	۰,۱۸۰	۰,۲۰۸	۰,۲۱۷	۰,۱۸۶	۰,۲۱۵	۰,۲۲۲	۰,۲۰۹	۰,۲۰۵	۰,۱۸۹
Eu	۰,۰۱۵	۰,۰۱۸	۰,۰۱۴	۰,۰۱۷	۰,۰۱۳	۰,۰۱۴	۰,۰۱۶	۰,۰۱۷	۰,۰۱۴	۰,۰۱۷	۰,۰۱۷	۰,۰۱۶	۰,۰۱۶	۰,۰۱۵
Gd	۰,۰۱۰۵	۰,۰۱۲۶	۰,۰۹۵	۰,۰۱۱۶	۰,۰۹۱	۰,۰۹۸	۰,۰۱۱۲	۰,۰۱۱۸	۰,۰۱۰۱	۰,۰۱۱۶	۰,۰۱۲۰	۰,۰۱۱۳	۰,۰۱۱۱	۰,۰۱۰۲
Tb	۰,۰۱۳	۰,۰۱۶	۰,۰۱۲	۰,۰۱۴	۰,۰۱۱	۰,۰۱۲	۰,۰۱۴	۰,۰۱۵	۰,۰۱۲	۰,۰۱۴	۰,۰۱۵	۰,۰۱۴	۰,۰۱۴	۰,۰۱۳
Dy	۰,۰۹۸	۰,۱۱۸	۰,۰۸۸	۰,۱۰۸	۰,۰۸۵	۰,۰۹۱	۰,۰۱۰۵	۰,۰۱۱۰	۰,۰۹۴	۰,۰۱۰۹	۰,۰۱۱۲	۰,۰۱۰۵	۰,۰۱۰۳	۰,۰۹۵
Ho	۰,۰۱۳	۰,۰۱۶	۰,۰۱۲	۰,۰۱۴	۰,۰۱۱	۰,۰۱۲	۰,۰۱۴	۰,۰۱۵	۰,۰۱۲	۰,۰۱۴	۰,۰۱۵	۰,۰۱۴	۰,۰۱۴	۰,۰۱۳
Er	۰,۱۹۸	۰,۲۳۸	۰,۱۷۸	۰,۲۱۸	۰,۱۷۲	۰,۱۸۴	۰,۲۱۲	۰,۲۲۲	۰,۱۹۰	۰,۲۱۹	۰,۲۲۶	۰,۲۱۳	۰,۲۰۹	۰,۱۹۳
Tm	۰,۰۴۵	۰,۰۵۴	۰,۰۴۱	۰,۰۵۰	۰,۰۳۹	۰,۰۴۲	۰,۰۴۸	۰,۰۵۰	۰,۰۴۳	۰,۰۵۰	۰,۰۵۱	۰,۰۴۸	۰,۰۴۸	۰,۰۴۴
Yb	۰,۰۶۳	۰,۰۷۶	۰,۰۵۷	۰,۰۶۹	۰,۰۵۵	۰,۰۵۹	۰,۰۶۷	۰,۰۷۱	۰,۰۶۰	۰,۰۷۰	۰,۰۷۲	۰,۰۶۸	۰,۰۶۷	۰,۰۶۱
Lu	۰,۰۱۲	۰,۰۱۴	۰,۰۱۱	۰,۰۱۳	۰,۰۱۰	۰,۰۱۱	۰,۰۱۳	۰,۰۱۴	۰,۰۱۲	۰,۰۱۳	۰,۰۱۴	۰,۰۱۳	۰,۰۱۳	۰,۰۱۲
ΣREE	۱,۴۷۹	۱,۷۷۵	۱,۳۳۱	۱,۶۲۷	۱,۲۸۷	۱,۳۷۵	۱,۵۸۳	۱,۶۵۶	۱,۴۲۰	۱,۶۳۷	۱,۶۹۲	۱,۵۹۰	۱,۵۶۲	۱,۴۴۱

ادامه جدول ۱

	MG-7	MG-8	MG-9	MG-10	MG-11	HG-1	HG-2	HG-3	HG-4	HG-5	HG-6	HG-7	HG-8
Mg	۵۵٫۷۹	۹۳٫۷۵	۱۱۲٫۵۹	۹۴٫۶۸	۹۷٫۵۳	۵۵۷٫۲۵	۶۳۴٫۳۷	۴۹۶٫۶۴	۷۲۵٫۳۹	۵۰۸٫۹۲	۶۳۹٫۱۰	۷۰۴٫۸۱	۶۸۳٫۵۸
Al	۳۵٫۱۲	۲۳٫۹۷	۴۱٫۰۶	۳۱٫۰۶	۳۸٫۸۰	۱۲۴٫۷۵	۱۷۳٫۲۸	۱۵۲٫۹۶	۱۶۵٫۷۰	۱۷۹٫۲۳	۱۶۰٫۶۴	۱۴۸٫۰۷	۱۳۹٫۲۹
Sc	۱۱٫۳۱	۸٫۳۰	۶٫۳۵	۶٫۷۹	۸٫۱۰	۲٫۶۹	۷٫۲۵	۵٫۴۳	۱۰٫۲۲	۳٫۹۶	۹٫۹۵	۸٫۷۰	۹٫۴۳
Ti	۱۸۶۴۶	۱۹۱۵۰	۱۸۳۴۳	۱۹۰۲۸	۱۸۴۹۰	۱۵۶۰۰	۱۴۹۳۵	۱۵۳۷۲	۱۴۵۳۴	۱۵۱۲۰	۱۴۷۰۳	۱۵۴۳۰	۱۴۹۶۵
V	۴۰۸۲	۴۲۳۵	۳۹۵۸	۴۱۸۶	۴۰۰۷	۲۸۴۰	۲۷۲۵	۲۸۶۱	۲۴۱۶	۲۵۳۲	۲۳۰۹	۲۳۶۴	۲۲۹۷
Cr	۹۶٫۴۸	۹۵٫۹۰	۱۰۲٫۷۳	۱۰۱٫۳۲	۹۴٫۸۱	۴۰٫۲۰	۴۳٫۷۵	۴۸٫۳۳	۴۵٫۰۴	۴۶٫۲۹	۴۹٫۷۰	۴۷٫۲۶	۴۵٫۹۱
Mn	۹۹۵	۱۰۰۸	۹۶۰	۸۵۱	۱۰۷۸	۴۵۴	۳۷۳	۵۳۸	۴۲۲	۳۹۵	۵۷۴	۴۹۷	۵۰۴
Co	۶۲٫۵۴	۵۷٫۹۶	۵۰٫۴۹	۶۱٫۰۰	۶۵٫۳۵	۳۳٫۰۴	۳۲٫۲۸	۳۱٫۶۴	۲۵٫۷۷	۲۶٫۳۴	۳۱٫۲۷	۲۸٫۹۸	۲۵٫۲۵
Ni	۱۰۵٫۵۳	۱۰۳٫۰۵	۹۳٫۸۶	۱۰۱٫۲۲	۹۸٫۶۴	۹۷٫۵۲	۱۰۲٫۵۱	۱۰۳٫۳۷	۱۰۵٫۴۸	۹۹٫۵۰	۱۰۰٫۳۹	۱۰۲٫۲۶	۱۰۴٫۵۵
Zn	۸۷۸	۱۰۴۴	۷۹۰	۸۰۵	۱۰۵۹	۳۶۳	۳۰۰	۴۱۴	۳۴۴	۳۸۹	۳۴۲	۲۷۹	۴۳۲
Ga	۱٫۲۴	۱٫۱۶	۰٫۸۹	۱٫۹۳	۱٫۴۱	۴٫۱۳	۵٫۷۰	۵٫۳۸	۳٫۵۷	۳٫۱۷	۴٫۴۲	۳٫۹۷	۳٫۷۱
Sr	۰٫۲۹	۰٫۳۷	۰٫۷۷	۰٫۶۲	۰٫۶۸	۰٫۵۳	۰٫۲۲	۰٫۸۲	۰٫۳۴	۰٫۴۹	۰٫۶۵	۰٫۴۴	۰٫۷۶
Y	۰٫۲۱۵	۰٫۲۲۴	۰٫۲۳۰	۰٫۱۸۴	۰٫۲۲۶	۱٫۴۴	۱٫۷۷۳	۱٫۹۴۳	۱٫۵۳	۱٫۶۹	۱٫۵۲۳	۲٫۰۱۱	۱٫۴۷۸
Nb	۲٫۸۱	۳٫۷۰	۵٫۱۸	۲٫۸۹	۳٫۵۳	۲٫۸۶۲	۴٫۶۵۵	۲۳٫۸۴	۳۶٫۱۱	۲۴٫۴۵	۳۲٫۱۹	۴۵٫۰۷	۲۵٫۱۴
Ba	۲٫۴۹	۲٫۹۱	۳٫۴۵	۲٫۰۹	۲٫۱۶	۳٫۱۷	۳٫۵۴	۲٫۸۳	۲٫۸۵	۲٫۶۳	۲٫۷۶	۳٫۰۲	۲٫۶۴
La	۰٫۰۴۶	۰٫۰۴۲	۰٫۰۳۸	۰٫۰۴۴	۰٫۰۳۸	۴٫۴۶۳	۴٫۰۸	۴٫۶۷۵	۴٫۲۵۰	۳٫۸۲۵	۴٫۱۶۵	۳٫۹۵۳	۴٫۵۴۸
Ce	۰٫۲۰۴	۰٫۱۸۴	۰٫۱۷۰	۰٫۱۹۴	۰٫۱۶۹	۱۳٫۹۶۵	۱۲٫۷۶۸	۱۴٫۶۳	۱۳٫۳۰	۱۱٫۹۷۰	۱۳٫۰۳۴	۱۲٫۳۶۹	۱۴٫۲۳۱
Pr	۰٫۱۰۳	۰٫۰۹۲	۰٫۰۸۵	۰٫۰۹۸	۰٫۰۸۵	۲٫۳۲۱	۲٫۱۲۲	۲٫۴۳۱	۲٫۲۱۰	۱٫۹۸۹	۲٫۱۶۶	۲٫۰۵۵	۲٫۳۶۵
Nd	۰٫۴۲۸	۰٫۳۸۵	۰٫۳۵۴	۰٫۴۰۷	۰٫۳۵۴	۱۲٫۱۸۰	۱۱٫۱۳۶	۱۲٫۷۶۰	۱۱٫۶۰	۱۰٫۴۴۰	۱۱٫۳۶۸	۱۰٫۷۸۸	۱۲٫۴۱۲
Sm	۰٫۲۱۰	۰٫۱۸۹	۰٫۱۷۴	۰٫۲۰۰	۰٫۱۷۴	۴٫۳۴۷	۳٫۹۷۴	۴٫۵۵۴	۴٫۱۴۰	۳٫۷۲۶	۴٫۰۵۷	۳٫۸۵۰	۴٫۴۳۰
Eu	۰٫۰۱۶	۰٫۰۱۵	۰٫۰۱۳	۰٫۰۱۵	۰٫۰۱۳	۰٫۰۵۹	۰٫۰۵۴	۰٫۰۶۲	۰٫۰۵۶	۰٫۰۵۰	۰٫۰۵۵	۰٫۰۵۲	۰٫۰۶۰
Gd	۰٫۱۱۳	۰٫۱۰۲	۰٫۰۹۴	۰٫۱۰۸	۰٫۰۹۳	۴٫۰۶۴	۳٫۷۱۵	۴٫۲۵۷	۳٫۸۷	۳٫۴۸۳	۳٫۷۹۳	۳٫۵۹۹	۴٫۱۴۱
Tb	۰٫۰۱۴	۰٫۰۱۳	۰٫۰۱۲	۰٫۰۱۴	۰٫۰۱۲	۰٫۷۹۳	۰٫۷۲۵	۰٫۸۳۱	۰٫۷۵۵	۰٫۶۸۰	۰٫۷۴۰	۰٫۷۰۲	۰٫۸۰۸
Dy	۰٫۱۰۶	۰٫۰۹۵	۰٫۰۸۸	۰٫۱۰۱	۰٫۰۸۷	۵٫۱۶۶	۴٫۷۲۳	۵٫۴۱۲	۴٫۹۲۰	۴٫۴۲۸	۴٫۸۲۲	۴٫۵۷۶	۵٫۲۶۴
Ho	۰٫۰۱۴	۰٫۰۱۳	۰٫۰۱۲	۰٫۰۱۳	۰٫۰۱۲	۰٫۸۳۴	۰٫۷۶۲	۰٫۸۷۳	۰٫۷۹۴	۰٫۷۱۵	۰٫۷۷۸	۰٫۷۳۸	۰٫۸۵۰
Er	۰٫۲۱۴	۰٫۱۹۲	۰٫۱۷۷	۰٫۲۰۴	۰٫۱۷۷	۱٫۹۹۵	۱٫۸۲۴	۲٫۰۹	۱٫۹۰۱	۱٫۷۱۰	۱٫۸۶۲	۱٫۷۶۷	۲٫۰۳۳
Tm	۰٫۰۴۹	۰٫۰۴۴	۰٫۰۴۰	۰٫۰۴۶	۰٫۰۴۰	۰٫۲۱۲	۰٫۱۹۴	۰٫۲۲۲	۰٫۲۰۲	۰٫۱۸۲	۰٫۱۹۸	۰٫۱۸۸	۰٫۲۱۶
Yb	۰٫۰۶۸	۰٫۰۶۱	۰٫۰۵۶	۰٫۰۶۵	۰٫۰۵۶	۱٫۱۱۳	۱٫۰۱۸	۱٫۱۶۶	۱٫۰۶۵	۰٫۹۵۴	۱٫۰۳۹	۰٫۹۸۶	۱٫۱۳۴
Lu	۰٫۰۱۳	۰٫۰۱۲	۰٫۰۱۱	۰٫۰۱۲	۰٫۰۱۱	۰٫۱۱۱	۰٫۱۰۲	۰٫۱۱۷	۰٫۱۰۶	۰٫۰۹۵	۰٫۱۰۴	۰٫۰۹۹	۰٫۱۱۳
ΣREE	۱٫۵۹۷	۱٫۴۳۸	۱٫۳۳۳	۱٫۵۲۱	۱٫۳۲۲	۵۱٫۶۲۱	۴۷٫۱۹۶	۵۴٫۰۷۹	۴۹٫۱۶۳	۴۴٫۲۴۷	۴۸٫۱۸۰	۴۵٫۷۲۲	۵۲٫۶۰۴

Nb و مجموع عناصر خاکی نادر (REE) در این سنگ‌ها به ترتیب در گستره ۱۱۳-۵۴، ۴۳-۲۴، ۱۹۳-۰٫۸۱-۰٫۲۲ ppm - ۰٫۱۷، ۴۹۲-۴۲ و ۱/۶۹-۱/۳۲ تغییر می‌کند. گستره تمرکز سایر عناصر کمیاب در نمونه‌های MHG و MG عبارت است از: Sc (۱۱۳۱-۳۸۰ ppm)، Ni (۹۳-۱۰۶ ppm)، Sr (۰٫۹۳-۰٫۲۳ ppm) و Ba (۰٫۲۳-۰٫۷۵ ppm).

ترکیب مگنتیت در نمونه هورنبلند گابروی فاقد کانسنگ (HG) دامنه تغییر ترکیب عناصر کمیاب در نمونه HG تفاوت بارزی با MHG و MG نشان می‌دهد (جدول ۱). میزان عناصر

ترکیب مگنتیت در نمونه‌های هورنبلند گابروی حاوی کانسنگ (MHG) و کانسنگ (MG) بلورهای مگنتیت در MHG و MG دارای ترکیب مشابهی هستند و تمرکز بیشتر عناصر کمیاب در آنها مشابه است (جدول ۱). این کانی‌ها دارای مقدار قابل ملاحظه‌ای از عناصر مختلف هستند. تمرکز فلزات به ویژه تیتانیوم (۱۹۹۶۰-۱۸۲۰۰ ppm)، وانادیم (۴۳۰۰-۳۹۰۰ ppm)، کروم (۹۲-۱۰۶ ppm)، منگنز (۷۹۰-۱۱۵۰ ppm)، کبالت (۵۰-۶۶ ppm) و روی (۶۶۰-۱۱۳۰ ppm) در مگنتیت‌های این دو نمونه بالاست. میزان Mg، Al، Ga، Y،

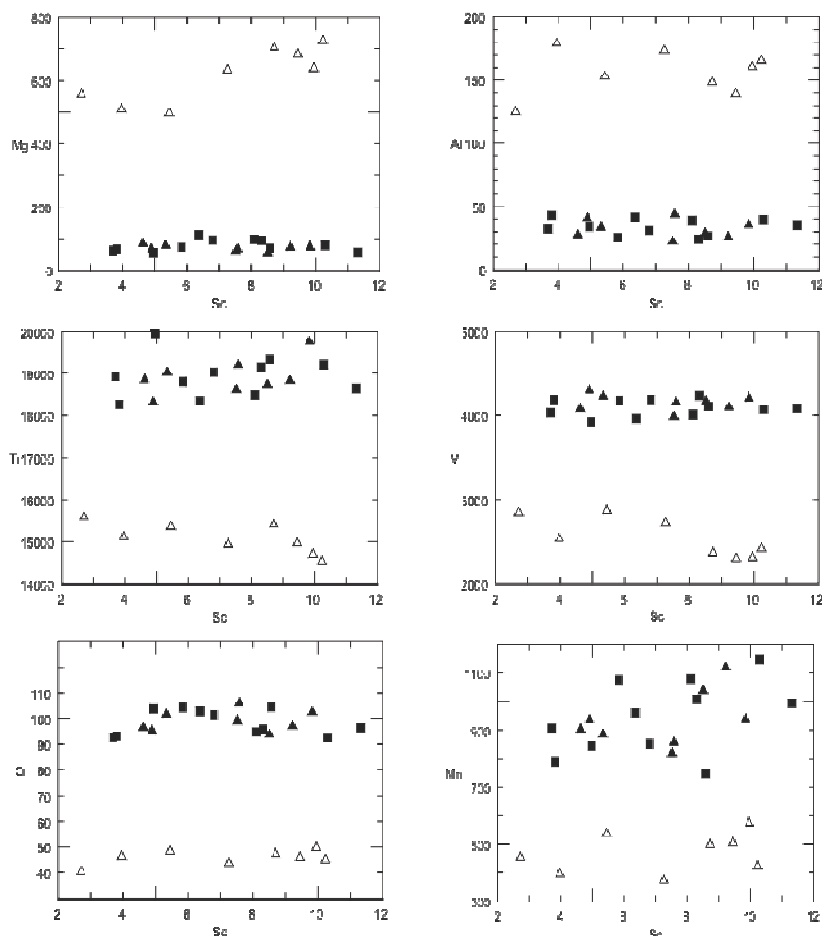
ترکیب متفاوت هستند [۶، ۱۸]. به عنوان مثال بسیاری از محققان معتقدند که مگنتیت ماگمایی غنی از Ti و V است [۶، ۸، ۱۹]. بنابراین، از ترکیب برخی عناصر خاص و نسبت آنها می‌توان برای تعیین جایگاه زمین‌شناسی و نوع مگنتیت استفاده نمود [۶، ۲۰]. با ترسیم ترکیب مگنتیت‌های توده نفوذی نامن بر نمودارهای متمایز کننده‌ی Ti+V نسبت به Al+Mn و Ni/(Cr+Mn) مشخص می‌شود که همه مگنتیت‌ها خاستگاه ماگمایی دارند و در رده مگنتیت‌های Fe-Ti, V قرار می‌گیرند (شکل ۳).

چنانکه در بخش قبل گفته شد ترکیب عناصر کمیاب در بلورهای مگنتیت HG تفاوت قابل ملاحظه‌ای با نمونه‌های MHG و MG دارد. در شکل‌های ۳ و ۴ از نمودارهای دوتایی Sc نسبت به سایر عناصر برای نشان دادن تمایز بین این دو گروه استفاده شده است. انتخاب Sc بدین علت است که گستره‌ی تغییرات این عنصر در هر دو دسته یکسان است.

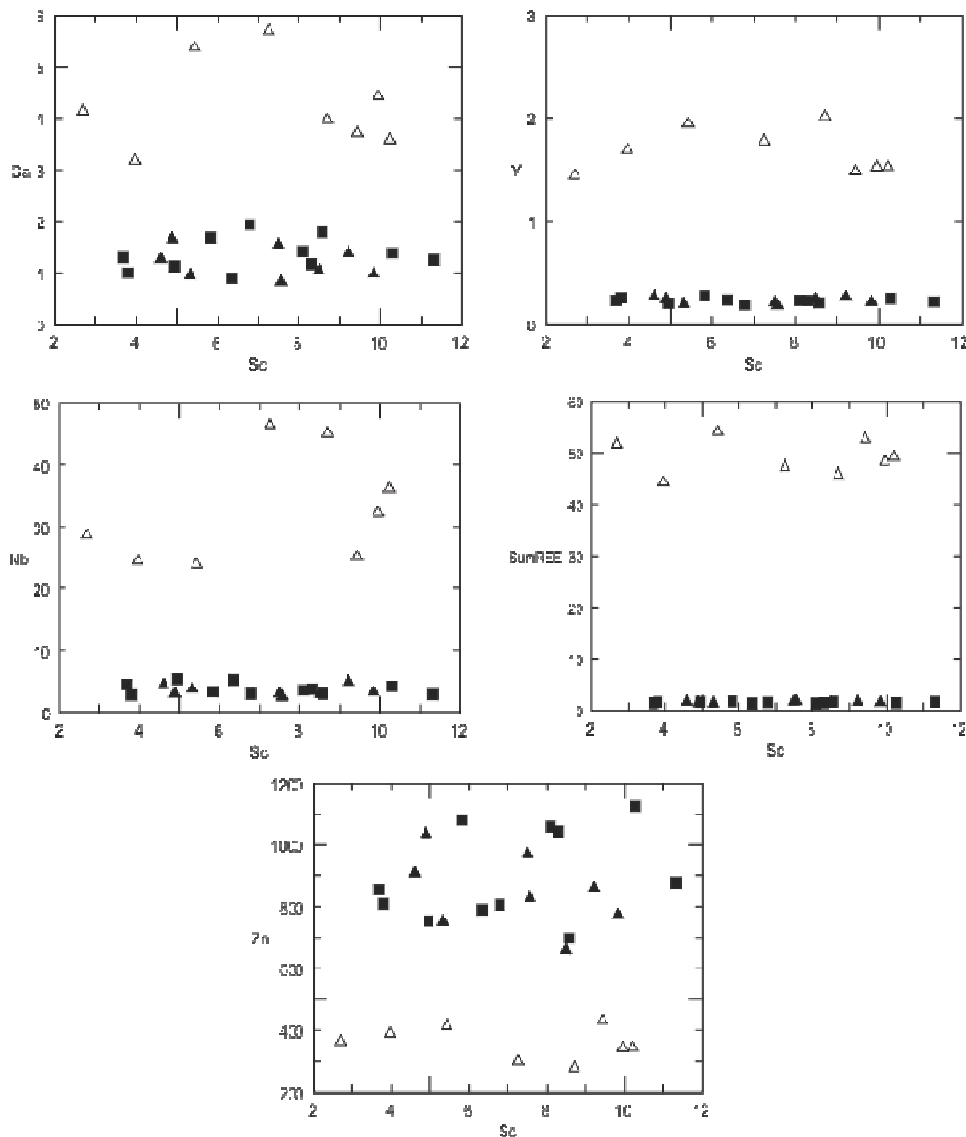
Ti (۱۴۵۰۰-۱۵۶۰۰ ppm)، V (۲۳۰۰-۲۸۶۰ ppm)، Cr (۲۵-۳۳ ppm)، Co (۳۷۰-۵۰۰ ppm)، Mn (۴۰-۴۸ ppm) و Zn (۳۰۰-۴۰۰ ppm) در نمونه HG کمتر از دو نمونه دیگر است. از سوی دیگر بسیاری از عناصر بویژه عناصر با شدت یونی بالا (HFSE) و REE در این نمونه تمرکزی چندین برابر نمونه‌های MHG و MG دارند: Mg (۵۰۰-۷۳۰ ppm)، Al (۱۲۰-۱۸۰ ppm)، Y (۳۵۸-۵۷۰ ppm)، Ga (۲۰۱-۲۷۰ ppm)، Nb (۱۴۴-۵۴ ppm) و عناصر خاکی نادر (۲۴-۴۷ ppm). $\Sigma\text{REE} = ۴۵$ نیز به ترتیب در گستره ۱۰/۲۲-۲/۶۹، ۱۰۶-۹۷، ۰/۸۲-۰/۲۲ و ۲/۶۳-۳/۱۷ تغییر می‌کند که در گستره ترکیبی نمونه‌های MHG و MG قرار می‌گیرد.

بحث

تحقیقات مختلف بر روی شیمی عناصر کمیاب مگنتیت در محیط‌های مختلف نشان می‌دهد که انواع کانسنگ‌ها دارای



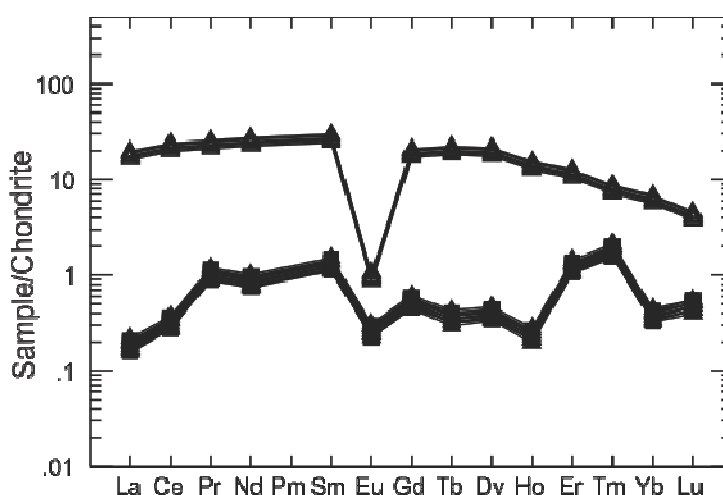
شکل ۳ نمودار دوتایی نشان دهنده‌ی تغییرات ترکیب عناصر کمیاب نسبت به Sc. مرکز همه عناصر برحسب ppm است. Δ = HG؛ \blacksquare = MG؛ \blacktriangle = MHG



شکل ۴ تغییرات سایر عناصر کمیاب نسبت به Sc. تمرکز همه عناصر برحسب ppm است. علائم همانند شکل ۳ هستند.

شکل (چاروجهی) با تهی‌شدگی LREE $[(La/Yb)_N = 0.46]$ هستند (شکل ۵). ناهنجاری منفی Eu در مگنتیت‌های این گروه $(Eu/Eu^* = 0.32)$ به نسبت HG کمتر است. تهی‌شدگی Eu مربوط به تبلور همزمان پلاژیوکلاز از ماگما است. در سنگ‌های گابرویی توده نامن، پلاژیوکلاز به عنوان کانی اصلی در تمام نمونه‌ها وجود دارد و بنابراین ناهنجاری منفی در الگوی REE برای مگنتیت‌های ماگمایی بدیهی به نظر می‌رسد. تفاوت شدت این ناهنجاری در مگنتیت‌های این دو گروه را می‌توان به تفاوت میزان سایر عناصر REE نسبت داد. از آنجا که فراوانی این عناصر در نمونه HG به مراتب بیشتر است، جدایش Eu در طی تبلور پلاژیوکلاز موجب ایجاد ناهنجاری شدیدتر در الگوی REE شده است.

مگنتیت‌های MG از نظر عناصر Ti, V, Cr, Mn و Zn نسبت به MHG و MG تهی‌شده‌تر هستند؛ در حالیکه عناصر REE و HFSE در این مگنتیت‌ها نسبت به نمونه‌های حاوی کانسنگ و مگنتیت‌های خود کانسنگ به شدت افزایش یافته است (شکل‌های ۳ و ۴). علاوه بر تفاوت در میزان عناصر خاکی نادر بین این دو گروه (میزان ΣREE در مگنتیت‌های HG به بیش از ۳۰ برابر مگنتیت‌های MHG و MG می‌رسد)، الگوی نمودار عنکبوتی نیز در آنها متفاوت است. مگنتیت‌های HG یک غنی‌شدگی نسبی عناصر خاکی نادر سبک (LREE) به سنگین (HREE) با شیب ملایم $[(La/Yb)_N = 2.67]$ با تهی‌شدگی شدید یوروپوم $(Eu/Eu^* = 0.04)$ را نشان می‌دهند؛ ولی مگنتیت‌های MHB و MG دارای الگوی REE تقریباً W



شکل ۵ الگوی REE بهنجار شده نسبت به کندریت [۲۱] برای نمونه های مورد بررسی. علائم همانند شکل ۳ هستند.

دهد. همانند سنگ کل، مگنتیت‌ها نیز در نمونه‌های HG به نسبت MHG غنی‌تر از عناصر HFSE و REE و تهی شده از بسیاری از فلزات هستند. علاوه بر این، ترکیب مگنتیت موجود در کانسنگ (MG) مشابه با MHG است. این امر نشان می‌دهد که طی جدایش گدازه اکسیدی غیرقابل امتزاج از ماگمای گابرویی MHG، تغییری در ترکیب عناصر کمیاب مگنتیت‌ها بوجود نیامده است.

برداشت

نتایج حاصل از تجزیه مگنتیت‌ها به روش LA-ICP-MS در توده نفوذی نامن نشان می‌دهد که همه آنها در رده‌ی مگنتی-های ماگمایی قرار می‌گیرند. این داده‌ها حاکی از آن است که تفاوت بارزی بین ترکیب عناصر کمیاب این کانی در نمونه‌های MHG-MG با HG وجود دارد. مگنتیت‌های گروه نخست غنی از Ti، V، Cr، Mn و Zn و بلورهای مگنتیت‌های HG غنی از Mg، Al، Ga، Y، Nb و REE هستند. نمودارهای عنکبوتی این دو گروه نیز الگوهای متفاوتی را برای آنها ترسیم می‌سازد. هماهنگی داده‌های عناصر کمیاب مگنتیت در گابروهای توده نامن با شیمی سنگ کل می‌تواند بیانگر تأیید نقش جدایش فاز فرار در تحول فاز ماگمایی باشد.

قدردانی

بخشی از هزینه‌های این تحقیق در قالب طرح پژوهانه مصوب دانشگاه پیام نور تأمین شده است که بدین وسیله از مسئولین دانشگاه پیام نور تشکر می‌گردد. دو داور محترم نظریات

برای درک بهتر علت تفاوت ترکیب مگنتیت در نمونه‌های توده نفوذی نامن بهتر است از داده‌های زمین‌شیمیایی سنگ‌های گابرویی (داده‌های سنگ کل) کمک گرفت. چنان که گفته شد، ویژگی‌های شیمیایی توده نامن توسط مظهري و همکاران [۹] ارائه شده است. داده‌های زمین‌شیمیایی نشان می‌دهد که سنگ‌های MHG و HG از نظر ترکیب کلی نیز با هم تفاوت‌های آشکاری دارند. نمونه‌های MHG دارای آهن، تیتانیوم، منگنز و کلسیم بیشتر و آلومینیوم، منیزیم، سدیم، پتاسیم و فسفر کمتری نسبت به گابروهای HG هستند [۹]. از نظر عناصر کمیاب نیز سنگ‌های MHG و HG ترکیب متفاوتی دارند: درحالیکه نمونه‌های MHG از نظر گوگرد و عناصر فلزی V، Cr، Co، Cu و Zn نسبت به HG غنی‌شدگی نشان می‌دهند، در سایر عناصر LILE و HFSE (Ba، Sr، Rb، Y، Nb، Ta، Mo، Sn، Pb، Th و REE) تهی‌شدگی شدید دیده می‌شود؛ میزان F در HG نیز بسیار بالاتر از MHG است [۹]. مجموع داده‌های زمین‌شیمیایی حاکی از آن است که جدایش فاز فرار [یک بخش غنی از F و P (که تشکیل HG را داده است) و بخش دیگر غنی از آب و گوگرد (که MHG را شکل داده است)] در طی دگرگونی ماگمای گابرویی موجب تمایز ترکیب شیمیایی، به‌ویژه عناصر کمیاب، در این دو گروه شده و جدایش گدازه اکسیدی غیرقابل امتزاج از ماگمای گابرویی موجب ایجاد کانسنگ‌های مگنتیت در توده نامن شده است [۹]. بررسی ترکیب عناصر کمیاب مگنتیت در سنگ‌های مورد بررسی همخوانی خوبی با داده‌های سنگ کل نشان می‌-

Emeishan Large Igneous Province, SW China", *Ore Geology Review* 65 (2015) 853-871.

[۹] مظهری س.ع.، مجتهدی فر و.، جعفریان ع.، "ژئوشیمی، سنگ زایی و کانی زایی سنگهای نفوذی نامن، جنوب غربی پهنه سبزوار"، *مجله بلورشناسی و کانی شناسی ایران*، شماره ۲۳ (۱۳۹۴) ص ۵۱۷-۵۳۲.

[۱۰] نبوی، م.ح.، "دیاچهای بر زمین شناسی ایران"، انتشارات سازمان زمین شناسی (۱۳۵۵).

[11] Khalatbari Jafari M., Babaie H.A., Gani M., "Geochemical evidence for Late Cretaceous marginal arc-to-backarc transition in the Sabzevar ophiolitic extrusive sequence, northeast Iran", *Journal of Asian Earth Sciences*, 70-71 (2013) 209-230.

[12] Shafaii Moghadam H., Zaki Khedr M., Arai S., Stern R.S., Ghorbani G., Tamura A., Ottley C., "Arc-related harzburgite-dunite-chromitite complexes in the mantle section of the Sabzevar ophiolite, Iran: A model for formation of podiform chromitites", *Gondwana Research* 27 (2015) 575-593.

[13] Rossetti F., Nasrabadi M., Vignaroli G., Theye T., Gerdes V., Razavi M. H., Moin Vaziri H., "Early Cretaceous migmatitic mafic granulites from the Sabzevar range (NE Iran): implications for the closure of the Mesozoic peri-Tethyan oceans in central Iran", *Terra Nova* 22 (2010) 26-34.

[14] Khalatbari Jafari M., Babaie H.A., Mirzaie M. "Geology, petrology and tectonomagmatic evolution of the plutonic crustal rocks of the Sabzevar ophiolite, northeast Iran", *Geological Magazine*, 150 (2013) 862-884.

[15] Alamnia Z., Karimpour M.H., Homam S.M., Finger F., "The magmatic record in the Arghash region (northeast Iran) and tectonic implications", *International Journal of Earth Science*, 102 (2013) 1603-1625.

[۱۶] قورچی روکی م.، کریمپور م.ح.، ابراهیمی نصرآبادی خ.، "تعیین سن، منشأ و جایگاه تکتونیکی توده های نفوذی جنوب سبزوار"، *پترولوژی*، شماره ۱۶ (۱۳۹۲) ص ۲۰-۱.

[17] Mazhari S.A., "Petrogenesis of adakite and high-Nb basalt association in the SW of Sabzevar Zone, NE of Iran: Evidence for slab melt-mantle interaction", *Journal of African Earth Sciences*, 116 (2016) 170-181.

ارزشمندی برای بهبود متن مقاله ارائه دادند که کمال تشکر را نسبت به آنها اعلام می دارم.

مراجع

[1] Giacomini F., Tiepolo M., Dallai, L., Ghezzi, C., "On the onset and evolution of the Ross-orogeny magmatism in North Victoria Land-Antarctica", *Chemical Geology* 240 (2007) 103-128.

[2] Molina J.F., Scarrow J.H., Montero P.G., Bea F., "High-Ti amphibole as a petrogenetic indicator of magma chemistry: evidence for mildly alkalic-hybrid melts during evolution of Variscan basic-ultrabasic magmatism of Central Iberia", *Contribution to Mineralogy and Petrology* 158 (2009) 69-98.

[۳] مظهری، س.ع.، قلمقاش، ج.، *مظلومی بجستانی، ع.ر.، حاج علیلو، ب.*، "کاربرد ترکیب عناصر جزئی کوارتز در تفسیر پتروژنتیکی گرانیتوئیدهای نرده، شمال غرب زون سندج-سیرجان"، *مجله بلورشناسی و کانی شناسی ایران* (۱۳۹۱) سال بیستم، شماره ۳، صفحات ۵۱۴-۵۰۵.

[4] Jacamon F., Larsen R.B., "Trace element evolution of quartz in the charnockitic Kleivan granite, SW-Norway: The Ge/Ti ratio of quartz as an index of igneous differentiation", *Lithos* 107 (2009) 281-291.

[۵] مظهری، س.ع.، "تغییر ترکیب شیمی آپاتیت در انواع گرانیت و کاربرد آن در سنگ شناسی: بررسی موردی از توده های نرده، زوزن، بانه و شیرکوه"، *مجله بلورشناسی و کانی شناسی ایران* (۱۳۹۳) سال بیست و دوم، شماره ۲، صفحات ۲۴۳-۲۵۶.

[6] Nadoll P., Angerer T., Mauk J.L., French D., Walshe J., "The chemistry of hydrothermal magnetite: a review", *Ore Geology Review* 61 (2014) 1-32.

[7] Zhao W.W., Zhou M.F., "In-situ LA-ICP-MS trace elemental analyses of magnetite: the Mesozoic Tengtie skarn Fe deposit in the Nanling Range, South China", *Ore Geology Review* 65(2015) 872-883.

[8] Liu P.P., Zhou M.F., Chen W.T., Gao J.F., Huang X.W., "In-situ LA-ICP-MS trace elemental analyses of magnetite: Fe-Ti(V) oxide-bearing mafic-ultramafic layered intrusions of the

- [20] Dupuis C., Beaudoin G., "Discriminant diagrams for iron oxide trace element fingerprinting of mineral deposit types", *Mineral. Deposita* 46 (2011) 319-335.
- [21] Nakamura N., "Determination of REE, Ba, Fe, Mg, Na and K in carbonaceous and ordinary chondrites", *Geochimica et Cosmochimica Acta* (1974) 38 757-775.
- [18] Nadoll P., Mauk J.L., Hayes T.S., Koeni A.E., Box S.E., "Geochemistry of magnetite from hydrothermal ore deposits and host rocks of the Mesoproterozoic Belt Supergroup, United States" *Economic Geology*, 107 (2012), 1275-1292.
- [19] Dare S.A.S., Barnes S.-J., Beaudoin G. "Variation in trace element content of magnetite crystallized from a fractionating sulfide liquid, Sudbury, Canada: implications for provenance discrimination", *Geochimica et Cosmochimica Acta*, 88 (2012) 27-50.